

ФАЗОВЫЙ ПЕРЕХОД ПЕРВОГО РОДА ИЗ АНТИФЕРРОМАГНИТНОГО СЕГНЕТОЭЛЕКТРИКА В ЦИКЛОИДНЫЙ МУЛЬТИФЕРРОИК СО СЛАБЫМ ФЕРРОМАГНЕТИЗМОМ ПРИ СОВМЕСТНОМ ДЕЙСТВИИ ВНЕШНИХ МАГНИТНОГО И ЭЛЕКТРИЧЕСКОГО ПОЛЕЙ

C. A. Пикин, И. С. Любутин*

*Институт кристаллографии Российской академии наук
119333, Москва, Россия*

Поступила в редакцию 4 марта 2013 г.

Посвящается памяти академика Анатолия Ивановича Ларкина

Для мультиферроика со структурой типа первовкита описана термодинамика фазового перехода, при котором антиферромагнитный сегнетоэлектрик переходит в новое магнитное состояние, где одновременно могут существовать спиральная структура спинов и слабый ферромагнетизм во внешнем магнитном поле \mathbf{H} . Такое состояние образуется в результате фазового перехода первого рода при некоторой температуре (ниже температуры Нееля T_N), когда благодаря эффекту Дзялошинского – Мории появляется геликоидальная магнитная структура. При этом оси электрической поляризации и геликоида магнитных моментов взаимно перпендикулярны и лежат в плоскости ab , перпендикулярной главной оси c . В плоскости ab появляется дополнительная электрическая поляризация \mathbf{P} , которая уменьшает общую поляризацию сегнетоэлектрика \mathbf{P} . Описано влияние внешних магнитного и электрического полей на свойства мультиферроика с геликоидальной магнитной структурой. Показано, что знакопеременное электрическое поле вызывает линейное по полю изменение магнитного момента \mathbf{m} , противоположное по знаку изменению электрического поля \mathbf{E} . Объяснены наблюдаемые гистерезисные явления, определяющие температурные области перегрева и переохлаждения каждой фазы. Проведено сравнение с экспериментальными данными.

DOI: 10.7868/S0044451013090022

1. ВВЕДЕНИЕ

Анатолий Иванович Ларкин внес огромный вклад в науку о сегнетоэлектриках и ферромагнетиках, придав ей современное звучание. Он уделял внимание как ее микроскопическим аспектам, так и феноменологической теории, которая, по его мнению, способна делать основные качественные заключения по актуальным физическим вопросам. Несомненно, ему был бы интересен синтез сегнетомагнитных свойств в современных мультиферроиках. Эта статья посвящена светлой памяти А. И. Ларкина в надежде, что она даст ответы на некоторые вопросы по данной тематике.

Кристаллы мультиферроиков интересны сосуществованием магнетизма и сегнетоэлектричества в одном материале [1–4], различных фазовых состояний, а также своими фазовыми переходами. В мультиферроиках $(\text{Eu}, \text{Y})\text{MnO}_3$ электрическая поляризация индуцируется геликоидальным упорядочением спинов, что происходит только при температурах, меньших температуры Нееля T_N . Первовкитоподобные кристаллы $\text{Eu}_{1-x}\text{Y}_x\text{MnO}_3$ имеют орторомбическую структуру и проявляют разнообразные магнитные и диэлектрические свойства. Они становятся почти коллинеарными антиферромагнетиками и параэлектриками при $T < T_N \approx 50$ К, сегнетоэлектриками при $T < T_{FE} \approx 30$ К (поляризация \mathbf{P} вдоль оси x), слабыми ферромагнетиками (магнитный момент \mathbf{m} вдоль оси z) с одновременным появлением спиральной структуры с волновым вектором \mathbf{q} (вдоль оси y) при $T < T_{WF} \approx 20$ К [5].

*E-mail: pikin@ns.crys.ras.ru

Для лантанида $\text{Eu}_{0.75}\text{Y}_{0.25}\text{MnO}_3$ было экспериментально показано [6], что магнитоэлектрический эффект возникает при приложении магнитного поля определенной (пороговой) величины. При этом спиральная магнитная структура и слабый ферромагнетизм образуются неизбежно одновременно в результате некоторого фазового перехода первого рода при критической температуре, меньшей температуры T_{FE} сегнетоэлектрического перехода. В работе [7] было доказано, что в приложенном вдоль главной оси c магнитном поле из-за эффекта Дзялошинского–Мории (ДМ) [8, 9] в перовскитах $\text{Eu}_{1-x}\text{Y}_x\text{MnO}_3$ неизбежно уменьшение спонтанной электрической поляризации с одновременным увеличением магнитного момента m слабого ферромагнетика. Температурная область этого перехода расширяется с возрастанием магнитного поля. В пределах этой области температур магнитный момент быстро возрастает, а поправка к электрической поляризации является отрицательной и также быстро увеличивается по абсолютной величине с ростом магнитного поля выше его порогового значения [6, 7].

Целью данной работы является феноменологическое объяснение термодинамического состояния перовскитов как мультиферроиков (в приложенных магнитном и электрическом полях). Выясняется роль спин-орбитального взаимодействия в возникновении слабого ферромагнетизма и его влияние на спонтанную поляризацию. Рассмотрено влияние приложенного электрического поля разной направленности на описанные эффекты.

2. РОЛЬ МОДУЛИРОВАННОСТИ СПИНОВОЙ СТРУКТУРЫ И СЛАБОГО ФЕРРОМАГНЕТИЗМА В МАГНИТОЭЛЕКТРИЧЕСКОМ ЭФФЕКТЕ

Как известно [8, 9], вклад в свободную энергию кристалла, благоприятствующий по соображениям симметрии появлению модулированной спиновой структуры и скосов спинов в антиферромагнетике (т. е. появлению слабого ферромагнетизма), определяется выражением

$$\mathbf{D}_{i,i+1} \cdot [\mathbf{S}_i \times \mathbf{S}_{i+1}]. \quad (1)$$

Вектор \mathbf{D} , стоящий в (1) перед векторным произведением $\mathbf{S}_i \times \mathbf{S}_{i+1}$, есть вектор Дзялошинского–Мории, зависящий от квантовых состояний орбитальных моментов \mathbf{l}_i и \mathbf{l}_{i+1} [8]. В перовскитоподобной структуре вектор \mathbf{D} зависит от смещения атома кислорода \mathbf{u} , например, вдоль оси x , и от расстояния между соседними магнитными ионами $\mathbf{r}_{i,i+1}$,

например, вдоль оси y [2]. Вектор \mathbf{D} можно записать в виде $\mathbf{D} = \lambda'[\mathbf{u} \times \mathbf{r}_{i,i+1}]$ или феноменологически $\mathbf{D} = \zeta(\mathbf{e}_1 \cdot [\mathbf{e}_2 \times \mathbf{e}_3])[\mathbf{p} \times \nabla]$, где электрическая поляризация \mathbf{p} пропорциональна смещению \mathbf{u} ($\mathbf{p} \propto \mathbf{u}$). Здесь λ' — псевдоскалярная постоянная, ζ — скаляр, \mathbf{e}_i — единичные орты. В неоднородной спиновой структуре вектор \mathbf{D} есть постоянная величина из-за неизменности величин \mathbf{u} , $\mathbf{r}_{i,i+1}$, \mathbf{p} и $\nabla \sim \mathbf{q}$.

В кристаллической ячейке кристалла $\text{Eu}_{1-x}\text{Y}_x\text{MnO}_3$ имеется несколько позиций ионов кислорода, европия и иттрия, и геометрия их связей с атомами Mn различна. Изменение этих связей в плоскости yz и вдоль оси x может быть различным при изменении температуры и приложенного магнитного поля \mathbf{H} . Соответственно при внешнем воздействии в (1) изменяются квантовые состояния и интегралы переноса, что приводит к поворотам спинов \mathbf{S}_i и \mathbf{S}_{i+1} . При этом атомы O смещаются из плоскости yz вдоль оси x за счет соответствующей переориентации атомных орбиталей и магнитных моментов [2]. Это приводит к изменению энергии обменного взаимодействия между магнитными ионами. При этом в результате атомных смещений и трансформации орбиталей волновое число q_y спиновой модулированной структуры увеличивается.

Рассмотрим антиферромагнитное упорядочение спинов ионов Mn в подрешетках 1 и 2 вдоль оси z (рис. 1). Малые наклоны (скосы) спинов \mathbf{S} в плоскостях xz и yz в соседних узлах могут быть одинаково направлены вдоль оси z . Треугольник, образованный моментами двух подрешеток \mathbf{M}_1 , \mathbf{M}_2 и антиферромагнитным моментом $\mathbf{L} = \mathbf{M}_1 - \mathbf{M}_2$, поворачивается вокруг z в плоскости xy на большие углы.

При поворотах момента \mathbf{L} циклоида спинов вдоль оси y , вдоль которой направлено внешнее магнитное поле \mathbf{H} , сохраняет указанные на рис. 1 одинаковые наклоны спинов в цепочках вдоль оси z . В этом случае вдоль оси z появляется намагниченность $\mathbf{m} = \mathbf{M}_1 + \mathbf{M}_2$ (слабый ферромагнетизм), которая увеличивается с приложением магнитного поля вдоль той же оси. Таким образом, однородное отклонение магнитных моментов \mathbf{M}_1 и \mathbf{M}_2 из плоскости xy в направлении оси z ведет к однородному смещению атомов кислорода \mathbf{u} вдоль оси x . Чем больше намагниченность \mathbf{m} , тем больше смещения \mathbf{u} . Как отмечалось выше, циклоида магнитных моментов характеризуется волновым вектором \mathbf{q} вдоль оси y .

Такая синхронная атомная перестройка есть магнитоэлектрический эффект, так как смещения \mathbf{u} изменяют существующую спонтанную поляризацию \mathbf{P} на малую величину \mathbf{p} . Как будет показано ни-

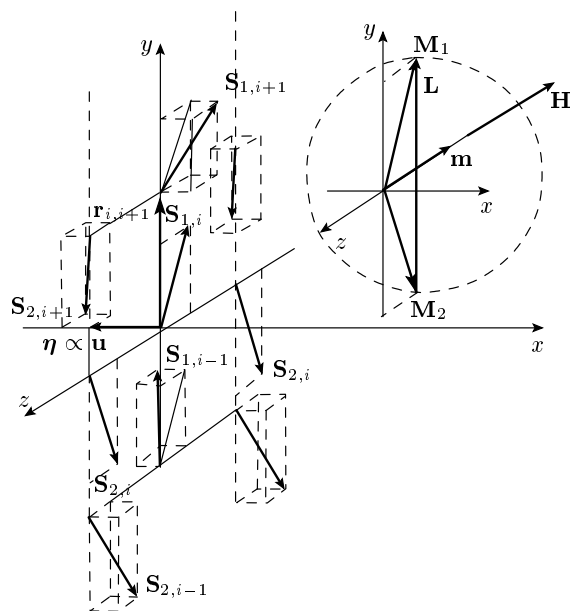


Рис. 1. Перовскит как слабый ферромагнетик–мультиферроик. Условно показаны магнитные моменты M_1 и M_2 подрешеток 1 и 2, их разность \mathbf{L} и сумма \mathbf{m} (на вставке). Вектор $\boldsymbol{\eta}$ возникает благодаря спин-орбитальным взаимодействиям. Вектор $r_{i,i+1}$ одинаков в каждой подрешетке. Повороты спинов \mathbf{S} в точках $i-1$, i и $i+1$ подрешеток изображены штриховыми линиями. Момент \mathbf{m} остается постоянным при возникновении спиральной закрутки моментов \mathbf{M} и \mathbf{L} в плоскости xy (обозначен штриховой окружностью на вставке)

же, в данном случае \mathbf{P} и \mathbf{p} имеют противоположные знаки. Уменьшение общей поляризации вследствие спин-орбитального взаимодействия, приводящего к поправке \mathbf{p} , связано с модулированностью спиновой структуры \mathbf{q} . Увеличение волнового вектора \mathbf{q} приводит к увеличению поляризации \mathbf{p} , а значит, и смещения \mathbf{u} , т. е. к увеличению скоса магнитных моментов. Это означает, что увеличение волнового числа q_y приводит к увеличению спонтанной намагниченности \mathbf{m} , т. е. к усилению слабого ферромагнетизма.

3. МАГНИТАЯ ВОСПРИИМЧИВОСТЬ МУЛЬТИФЕРРОИКА ПРИ НАЛИЧИИ СПИНОВОЙ ЦИКЛОИДЫ

Увеличение намагниченности $\mathbf{m} = \mathbf{M}_1 + \mathbf{M}_2$, возникающей из-за скоса магнитных моментов двух подрешеток, при возрастании приложенного магнитного поля \mathbf{H} вызвано магнитной восприимчивостью χ_m , которая увеличивается на величину $\delta\chi_m$ бла-

годаря спиновой модуляции. Если бы магнитоэлектрический эффект не был вызван спиральной магнитной структурой, то спонтанная намагниченность слабого ферромагнетика \mathbf{m} вдоль оси z была бы обусловлена полем Дзялошинского H_D [10]:

$$m = \chi_m H_D, \quad H_D = |\boldsymbol{\eta}| L. \quad (2)$$

Здесь $\boldsymbol{\eta}$ — малая величина релятивистской природы, появляющаяся благодаря спин-орбитальному взаимодействию, вектор $\boldsymbol{\eta}$ ($\boldsymbol{\eta} \propto \mathbf{u} \propto \mathbf{p}$) параллелен оси x , вектор антиферромагнетизма $\mathbf{L} = \mathbf{M}_1 - \mathbf{M}_2$ параллелен оси y (рис. 1). Это связано с наличием в выражении для свободной энергии постоянной поправки вида

$$\boldsymbol{\eta} \cdot [\mathbf{m} \times \mathbf{L}] = \eta_x m_z L_y, \quad (3)$$

которая является скалярной величиной ввиду того, что \mathbf{L} меняет знак при инверсии всех координат, включая координаты соседних спинов [10]. При приложении внешнего магнитного поля H вдоль оси z эффективное поле дается выражением $H_{eff} = H_D + H$. Под его действием возникает слабый ферромагнетизм и соответствующий магнитный момент равен $m = \chi_m H_{eff}$, если \mathbf{L} остается постоянной величиной при отсутствии модуляции спинов.

Свойства таких систем вблизи точки перехода в парамагнитную фазу (во внешнем магнитном поле) описаны в рамках теории Ландау [10]. Термодинамические средние значения \mathbf{m} , \mathbf{L} и \mathbf{M} находятся минимизацией свободной энергии и, вообще говоря, должны учитываться наряду с макроскопическими параметрами \mathbf{q} и \mathbf{p} . Слабый ферромагнитный момент \mathbf{m} остается постоянным при возникновении спиральной закрутки моментов $\mathbf{M}_{1,2}$ и \mathbf{L} в плоскости xy . При наличии спиральной структуры компонента L_y является знакопеременной величиной, и приведенная выше поправка (3) отсутствует, так как при постоянных величинах $\boldsymbol{\eta}$ и \mathbf{m} усреднение по координате y дает $\langle \boldsymbol{\eta} \cdot [\mathbf{m} \times \mathbf{L}] \rangle = 0$, где $\mathbf{L} = \mathbf{M}_1 - \mathbf{M}_2$ — периодически изменяющаяся функция от y . Таким образом, существование спирали магнитных моментов не противоречит наличию слабого ферромагнетизма в эффективном магнитном поле.

Поправка $\delta\chi_m$, связанная с волновым вектором \mathbf{q} , отлична от нуля только при учете в выражении для свободной энергии квадратичных членов вида $\langle (\nabla \cdot [\mathbf{m} \times \mathbf{L}])^2 \rangle \neq 0$. Учитывая, что рост $q_y \propto p_x$ приводит к увеличению намагниченности m , соответствующая поправка в энергии должна быть отрицательной и пропорциональной величине $-q_y^2 M^2 m^2$. С учетом вклада $-\mathbf{m} \times \mathbf{H}$ при приложении внешне-

го поля \mathbf{H} она приобретает вид $-\beta q_y^2 M^2 H^2$, где константа β положительна, а положительная величина $\delta\chi_m$ равна $\beta q_y^2 M^{2-1}$.

Таким образом, пространственная модуляция магнитных моментов подрешеток в антиферромагнетике приводит к увеличению магнитной восприимчивости пропорционально квадрату волнового числа циклоиды, возникающей в мультиферроике наряду с электрическим моментом.

4. ОТРИЦАТЕЛЬНАЯ ПОПРАВКА К СПОНТАННОЙ ПОЛЯРИЗАЦИИ МУЛЬТИФЕРРОИКА

Запишем свободную энергию F с учетом температурного изменения момента подрешетки $M \approx L/2$ в отсутствие внешнего магнитного поля:

$$F = t_1 P_s^2 + \frac{1}{2} b_1 P_s^4 + 2b_1 P_s p_x^3 + \frac{1}{2\chi_{e0}} p_x^2 + \frac{1}{2} b_1 p_x^4 + t_2 q_y^2 M^2 + \frac{1}{2} b q_y^4 M^2 + \zeta q_y M^2 p_x. \quad (4)$$

Выражение (4) записано в предположении существования спонтанной поляризации P_s ниже точки Нееля. Здесь $P_x = P_s + p_x$ — полная поляризация первовскита, $P_s = \sqrt{-t_1/b_1}$ — спонтанная поляризация, p_x — поправка к значению P_s , вызванная эффектом ДМ, χ_{e0} — электрическая восприимчивость, ζ — скаляр, $|\lambda| = |\zeta|$, $t_1 = a_1(T - T_1)$, $t_2 = a(T - T_2)$, $T_1 \equiv T_{FE}$, T_2 — температура перехода в модулированное состояние, a , a_1 , b , b_1 — положительные феноменологические постоянные. Из (4) находим приближенно:

$$p_x \approx -\chi_{e0} \zeta q_y M^2, \quad (5)$$

$$F = F_0 + \tilde{t}_2 q_y^2 M^2 - b_2 M^2 q_y^3 + \frac{1}{2} B q_y^4 M^2, \quad (6)$$

где

$$\tilde{t}_2 \approx t_2 - \frac{1}{2} \chi_{e0} \zeta^2 M^2, \quad b_2 = 2b_1 P_s (\zeta \chi_{e0})^3 M^4,$$

$$B = b + b_1 (\chi_{e0} \zeta M^2)^4$$

и постоянная F_0 не зависит от волнового числа q_y и намагниченности подрешетки M . Такое рассмотрение имеет смысл при отрицательных значениях

¹⁾ Эта поправка, связанная с эффектом ДМ, верна лишь в достаточно слабых магнитных полях, которые практически еще не раскручивают циклоиду. В сильных магнитных полях происходит раскрутка циклоиды, например, по механизму индуцированного магнитным полем фазового перехода в однородное антиферромагнитное состояние [11–13]. При этом период циклоиды резко возрастает вблизи критического значения поля.

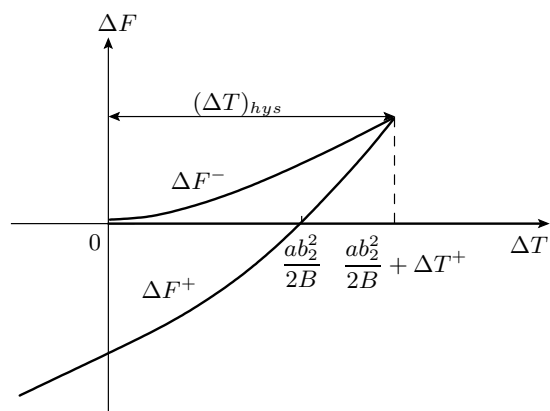


Рис. 2. Температурный гистерезис в мультиферроике. Показан перегрев ΔT^+ спирально-циклоидного магнитного состояния, существующего в магнитном поле одновременно со слабоферромагнитной фазой. Изображены ветви решения для F со значениями q_y , равными нулю и q_y^\pm

\tilde{t}_2 , допускающих фазовый переход из антиферромагнитного состояния в состояние спиновой циклоиды с конечным волновым числом q_y . Это возможно лишь при достаточно больших значениях M : $M^2 > 2t_2/\chi_{e0}\zeta^2$

Отсюда находим значение волнового числа q_y^\pm образующейся спиральной структуры:

$$q_y^\pm = \frac{3b_2 \pm \sqrt{9b_2^2 - 16B\tilde{t}_2}}{4B}. \quad (7)$$

Ниже точки перехода в модулированное состояние температурное поведение этого волнового вектора определяется величиной \tilde{t}_2 . Знак p_x зависит от знака волнового числа спирали q_y . Знак «+» соответствует знаку «+» перед корнем в выражении для q_y^+ и минимуму свободной энергии (6), если ДМ-параметр ζ положителен. Знак «-» соответствует знаку «-» перед корнем в выражении для q_y^- и минимуму свободной энергии (6), если параметр ζ отрицателен. Значения q_y^\pm описывают ветви F^+ и F^- как результаты этих решений для q_y (рис. 2). Согласно (5) при инверсии координат знак вектора \mathbf{p} изменяется на противоположный, т. е. знаки векторов \mathbf{P}_s и \mathbf{p} остаются противоположными.

В приложенном магнитном поле в выражениях (6) и (7) эффективно изменяется параметр \tilde{t}_2 : $\tilde{t}_2 \rightarrow \tilde{t}_{2H} = \tilde{t}_2 - \beta H^2$, и фазовый переход первого рода в модулированное состояние происходит при значении приведенной температуры $\tilde{t}_{2Hc} = b_2^2/2B$, при которой число q_y претерпевает скачок от нуля к зна-

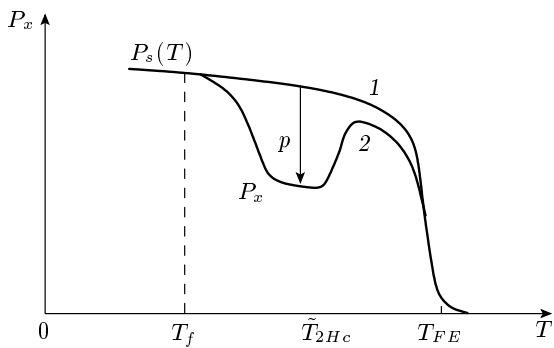


Рис. 3. Влияние слабого ферромагнетизма на спиральный мультиферроик. Показаны поведение спонтанной поляризации в отсутствие (1) и в присутствии (2) магнитного поля. Отрицательная поправка (2) к спонтанной поляризации P_s появляется в достаточно сильном магнитном поле в промежуточной области температур между точками T_f и T_{FE} , где имеется переход в спиральный мультиферроик при температуре \tilde{T}_{2Hc}

чению $q_c^+ = b_2/B$, если параметр ζ положителен. В этой точке скачком изменяется и поляризация:

$$P_{xc} = P_s - \zeta \chi_{e0} q_c^+ M^2.$$

С учетом данных [6, 7], на рис. 3 изображена «магнитная» поправка к спонтанной поляризации в промежуточной области температур, между температурой «замораживания» T_f и точкой сегнетоэлектрического перехода T_{FE} . В этой области в магнитном поле происходит фазовый переход первого рода в спиральный мультиферроик при температуре $\tilde{T}_{2Hc} = T_2 + \tilde{t}_{2Hc}/a$.

Система способна перегреваться благодаря гистерезисным явлениям, при которых существуют данная модулированная и сегнетоэлектрическая фазы. Под «перегревом» подразумевается неравновесное существование спирального магнитного состояния со слабоферромагнитной фазой выше точки фазового перехода \tilde{t}_{2Hc} в магнитном поле.

Величину температурного гистерезиса $(\Delta T)_{hys}$ можно оценить из зависимости $F(T)$, исходя из соотношения (6). На рис. 2 показаны ветви $\Delta F^+ \equiv F^+ - F_0$ и $\Delta F^- \equiv F^- - F_0$ (знаки \pm соответствуют знакам для q_y^\pm): $(\Delta T)_{hys} \approx b_2^2/aB$, причем область перегрева мультиферроика задается соотношениями

$$\begin{aligned} \Delta T_+ &\approx \frac{b_2^2}{16aB}, \quad \Delta F^-(\tilde{t}_{2Hc}) = \frac{M^2 \beta^4}{32B^3}, \\ \Delta F^+(0) &= -\frac{27M^2 \beta^4}{64B^3}, \\ \Delta F^+ \left(\frac{9b_2^2}{16B} \right) &= \Delta F^- \left(\frac{9b_2^2}{16B} \right) = \frac{27M^2 \beta^4}{512B^3}. \end{aligned} \quad (8)$$

Такой эффект перегрева наблюдался в работе [6].

Области существования и изменения относительной объемной доли мультиферроидной фазы (ниже температуры перехода в сегнетоэлектрик T_{FE}) и фазы слабого ферромагнетизма в различных температурных интервалах показаны на фазовой диаграмме в зависимости от истории воздействия магнитного и электрического полей. Установлено, что слабоферромагнитная фаза без спиральной магнитной структуры существовала с сегнетоэлектрической фазой и ниже температуры замерзания спинов T_f , которая отвечает фазовому переходу первого рода в так называемое «магнитоэлектрическое стекло» [6]. В отсутствие магнитного поля ниже точки T_f слабоферромагнитная фаза не наблюдалась, и присутствовала только сегнетоэлектрическая фаза. Если в присутствии магнитного поля точка \tilde{t}_{2Hc} , найденная из соотношений (6) и (7), гипотетически близка к aT_f , то при охлаждении в области $\tilde{t}_{2Hc} < \tilde{t}_{2H}$ спонтанная поляризация может возрастать по обычному закону $\sqrt{T_{FE} - T}$, что, по-видимому, наблюдалось на опыте [6].

При $\zeta < 0$ коэффициент b_2 в (6) меняет знак, и вместо (7) решением является волновое число

$$q_y^- = \frac{3b_2 - \sqrt{9b_2^2 - 16B\tilde{t}_2}}{4B} < 0. \quad (9)$$

Таким образом, согласно (9), знак спирали изменяется на противоположный. Однако из (5) следует, что при $\zeta < 0$ знак поляризации p_x не изменяется. В точке перехода в спирально-циклоидное магнитное состояние скачок $q_c^- = b_2/B$ становится отрицательным, а поляризация p_x претерпевает такой же отрицательный скачок на величину $-\zeta \chi_{e0} q_c^- M^2$.

С помощью уравнений (6) и (7) определим величину поправки к электрической поляризации p_{xH} и поправку $\delta m = (\delta \chi_m)H$ к магнитному моменту за счет приложенного магнитного поля:

$$p_H = -\zeta \chi_{e0} M^2 q_{yH}^+, \quad \delta m = \beta M^2 (q_{yH}^+)^2 \Delta H, \quad (10)$$

где q_{yH} — волновое число с учетом внешнего магнитного поля, $\Delta H \approx H - H_{th}$.

Магнитное поле предполагается достаточно большим для преодоления порога H_{th} , связанного, например, с «замораживанием» системы, а также с

магнитной анизотропией. В то же время магнитные поля должны быть достаточно слабы, чтобы они еще не раскручивали циклоиду.

В отсутствие спонтанной поляризации P_s ниже точки Нееля из выражения (4) следует, что волновое число q_y имеет два равноправных значения, различающиеся знаком. Соответственно, электрическая поляризация p_x также имеет два противоположных по знаку значения. Поэтому в отсутствие внешнего электрического поля такой кристалл в среднем не обладает поляризацией при наличии эффекта ДМ. Возможно, что похожая ситуация возникает и в лангаситах в отсутствие спонтанной поляризации выше точки T_N [14–16]. Приложение электрического поля позволяет такому мультиферроику сделать выбор в пользу конкретных значений q_y и p_x .

5. РОЛЬ ВНЕШНЕГО ЭЛЕКТРИЧЕСКОГО ПОЛЯ

Пусть теперь при наличии спонтанной поляризации P_s , параллельной оси x , электрическое поле \mathbf{E} приложено вдоль оси x (при температуре $T < T_{FE} < T_N$). Рассмотрим два случая, когда направления векторов \mathbf{E} и \mathbf{p} совпадают ($E_x < 0$) и когда они противоположны ($E_x > 0$). Выражение для свободной энергии (4) записывается в виде

$$F = F_0 + \tilde{t}_{2H} M^2 q_y^2 - b_2 M^2 q_y^3 + \frac{1}{2} B M^2 q_y^4 + \chi_{e0} M^2 \zeta q_y E_x. \quad (11)$$

При выводе (11) использованы выражение (5) и феноменологические константы из (6), здесь

$$p_x \approx \chi_{e0} E_x - \chi_{e0} \zeta M^2 q_y, \quad \zeta > 0, \quad q_y > 0,$$

и индекс «+» для q_y опущен для простоты.

Переход первого рода из антиферромагнетика в модулированную спиновую структуру происходит, если в точке перехода

$$F(q_y > 0) = F(q_y = 0), \quad \partial F(q_y \neq 0) / \partial q_y = 0.$$

В этом случае для отыскания волнового числа q_y и приведенной температуры перехода \tilde{t}_{2H} получаем два уравнения. Первое записывается как

$$q_y = \frac{\tilde{t}_{2H} + \sqrt{\tilde{t}_{2H}^2 + 3\chi_{e0} b_2 \zeta E_x}}{b_2}. \quad (12)$$

Второе уравнение в общем случае имеет вид

$$q_y = \frac{b_2}{2B} + \sqrt[3]{-\frac{Q}{2} + \sqrt{\frac{Q^2}{4} + \frac{U^3}{27}}} + \sqrt[3]{-\frac{Q}{2} - \sqrt{\frac{Q^2}{4} + \frac{U^3}{27}}}, \quad (13)$$

где

$$Q = \frac{b_2^3}{B^3} \left(\frac{t}{2} - \frac{1}{4} + \frac{\Sigma}{2} \right), \quad U = \left(\frac{b_2}{B} \right)^2 \left(t - \frac{3}{4} \right),$$

$$\tilde{t}_{2H} = \frac{b_2^2}{B} t, \quad \Sigma = \frac{B^2}{b_2^3} (\chi_{e0} \zeta E_x),$$

t и Σ — безразмерные величины. При $E = 0$ из (13) следует, что $t = 1/2$ и $q_y = b_2/B$, причем

$$Q = 0, \quad U = -\frac{1}{4} \left(\frac{b_2}{B} \right)^2,$$

а сумма корней третьей степени в (13) есть сумма комплексно-сопряженных чисел

$$\frac{b_2}{2\sqrt{3}B} \exp \frac{i\pi}{6}, \quad \frac{b_2}{2\sqrt{3}B} \exp \left(-\frac{i\pi}{6} \right),$$

равная $b_2/2B$.

При малых значениях E_x из уравнений (12) и (13) находим, что точке фазового перехода первого рода в спиральный мультиферроик соответствуют значения

$$q_y \approx \frac{b_2}{B} + \frac{B}{b_2^2} (\chi_{e0} \zeta E_x), \quad \tilde{t}_{2H} \approx \frac{b_2^2}{2B} - \frac{B}{b_2} (\chi_{e0} \zeta E_x). \quad (14)$$

Напомним, что здесь \tilde{t}_{2Hc} — приведенная критическая температура перехода, которая при $E = 0$ равна $\tilde{t}_{2Hc} = b_2^2/2B$.

Из (14) видно, что в приложенном электрическом поле при положительных значениях E_x (когда \mathbf{E} и \mathbf{p} противоположны по направлению) волновое число q_y в точке перехода увеличивается, а при отрицательных E_x (\mathbf{E} и \mathbf{p} совпадают по направлению) — уменьшается. При этом поляризация

$$p_x \approx \chi_{e0} E_x - \chi_{e0} \zeta M^2 q_y$$

при положительных E_x уменьшается по модулю из-за роста слагаемого $\chi_{e0} E_x$, если полевая поправка к волновому числу $(B/b_2^2)\chi_{e0} \zeta E_x$ мала и

$\zeta BM^2/b_2^2 < 1$, т. е. если мал параметр спин-орбитального взаимодействия ζ . На опыте [6], где положительным значениям E_a соответствуют $E_x > 0$, наблюдалось существенное уменьшение поляризации p_x при приложении положительных E_x .

При положительных значениях E_x согласно (14) температура перехода в спиральный мультиферроик понижается, а при отрицательных — повышается. Как следует из (11) и (12), точка перехода \tilde{t}_{2H} обращается в нуль при

$$\chi_{e0}\zeta E^* = \frac{16}{27} \frac{b_2^3}{B^2}. \quad (15)$$

Если электрическое поле превышает положительное пороговое значение E^* , то температура перехода \tilde{t}_{2H} формально становится отрицательной величиной:

$$\tilde{t}_{2H} \approx -\frac{3B}{4b_2}\chi_{e0}\zeta E + \frac{4b_2^2}{9B}. \quad (16)$$

Это означает, что поправка \mathbf{p} образуется при более низкой температуре, если векторы \mathbf{E} и \mathbf{p} противоположны по направлению. При больших положительных значениях E_x электрическое поле подавляет поляризацию \mathbf{p} , так как в этом случае \mathbf{E} и \mathbf{p} противоположны по направлению. Выражения (15) и (16) для точки перехода в спиральный мультиферроик в электрическом поле справедливы для некоторых промежуточных значений приложенного поля.

Данные опыта для $\text{Eu}_{0.75}\text{Y}_{0.25}\text{MnO}_3$ [6] показывают, что малые изменения E_x и δt находятся в противофазе, причем δt изменяется линейно с изменением E_x . С учетом того, что магнитная спираль разрушается по мере роста E_x , в электрическом поле поправка к магнитной восприимчивости $\delta\chi_m$ может содержать отрицательный вклад $-\zeta'q_yE_x$, где положительный параметр ζ' связан со спин-орбитальным взаимодействием. В этом случае намагниченность $\delta t \approx -\zeta'q_yE_x\Delta H$, что соответствует экспериментальным данным.

Поскольку согласно (14) температура перехода возрастет при отрицательных E_x (т. е. \mathbf{E} и \mathbf{p} одинаково направлены), система «размораживается» и находится в области температур, где происходит фазовый переход по волновому числу q_y (т. е. по добавке к поляризации p_x). При этом намагниченность t резко возрастает из-за эффекта ДМ (пропорционально q_y^2) [7]. По мере уменьшения температуры ниже точки перехода увеличивается модуль отрицательной поправки p_x (см. рис. 3).

6. ВЫВОДЫ

В перовскитоподобных кристаллах при отсутствии центра симметрии имеет место эффект ДМ в плоскости, перпендикулярной оси c . В этой плоскости ab (xy) появляются дополнительная поляризация и спиральная модуляция магнитных моментов со взаимно перпендикулярными направлениями. В таких материалах дополнительная электрическая поляризация (за счет эффекта ДМ) пропорциональна квадрату намагниченности как собственного параметра перехода в антиферромагнитное состояние в точке Нееля. В присутствии внешнего магнитного поля появление электрической поляризации при $T < T_{2Hc}$ обязательно должно сопровождаться возникновением слабого ферромагнетизма вдоль оси c с сохранением циклоиды магнитных моментов.

Уменьшение общей электрической поляризации вследствие спин-орбитального взаимодействия связано с модулированностью спиновой структуры. В перовскитоподобных мультиферроиках появление волнового числа спирали магнитных моментов связано со смещениями атомов кислорода в структуре этих кристаллов. Возрастание волнового числа q_y в слабом ферромагнетике с уменьшением температуры приводит к увеличению спонтанной намагниченности t . При этом в выражении для магнитной восприимчивости появляется положительная поправка, квадратично связанная с волновым вектором q_y и намагниченностью подрешеток M . На этой основе описана термодинамика фазового перехода первого рода антиферромагнитного сегнетоэлектрика в спин-циклоидный мультиферроик со слабым ферромагнетизмом и со скачками электрической поляризации и намагниченности.

Особый интерес представляет зависимость рассматриваемых явлений от приложенного электрического поля \mathbf{E} . Например, если \mathbf{E} приложено по оси x , то возникает поляризация p_x и меняется величина волнового вектора q_y в этом мультиферроике.

Показано, что в поле \mathbf{E} поправка \mathbf{p} к спонтанной поляризации (появляющаяся из-за эффекта ДМ) возрастает, если направления \mathbf{p} и \mathbf{E} совпадают. Одновременно уменьшается и волновое число \mathbf{q} магнитной спирали. При этом в поле \mathbf{E} температура, при которой появляется \mathbf{p} , увеличивается. В противном случае (т. е. когда векторы \mathbf{p} и \mathbf{E} противоположно направлены) с ростом E_x модуль $|p_x|$ отрицательной поправки p_x снижается, и таким образом повышается общая поляризация P_x . При этом температура возникновения поправки p_x уменьшается. В то же время с ростом E_x слабый магнитный момент t (в

присутствии наряду с полем \mathbf{E} постоянного магнитного поля \mathbf{H}) возрастает, если \mathbf{p} и \mathbf{E} параллельны, и убывает, если \mathbf{p} и \mathbf{E} антипараллельны.

Приложение знакопеременного электрического поля вызывает линейное по полю изменение магнитного момента, противоположное по знаку изменению электрического поля, что также возможно благодаря эффекту ДМ. Такой эффект наблюдался экспериментально в кристалле $\text{Eu}_{0.75}\text{Y}_{0.25}\text{MnO}_3$ [6].

Гистерезисные явления существенно усложняют описываемые явления. В данной работе определены температурные области перегрева и переохлаждения мультиферроика при наложении магнитного и электрического полей. При этом учтена близость точек переходов в сегнетоэлектрическое, мультиферроидное и слабоферромагнитное, а также стеклообразное магнитоэлектрическое состояния. Показано, что перегрев мультиферроика происходит в значительно более узкой температурной области по сравнению с его переохлаждением. Это соответствует данным эксперимента [6].

Работа выполнена при финансовой поддержке Программы Президиума РАН «Диагностика наноструктур» (грант № 24_3.1).

ЛИТЕРАТУРА

1. K. Kumar, A. K. Pramanik, A. Banerjee et al., Phys. Rev. B **73**, 184435 (2006).
2. S.-W. Cheong and M. Mostovoy, Nature Mater. **6**, 13 (2007).
3. P. Chaddah et al., Phys. Rev. B **77**, 100402(R) (2008).
4. D. I. Khomskii, Physics **2**, 20 (2009).
5. J. Hemberger, F. Schrettle, A. Pimenov et al., Phys. Rev. B **75**, 035118 (2007).
6. Y. J. Choi, C. L. Zhang, N. Lee et al., Phys. Rev. Lett. **105**, 097201 (2010).
7. С. А. Пикин, Кристаллография **56**, 719 (2011).
8. T. Moriya, Phys. Rev. Lett. **4**, 228 (1960).
9. И. Е. Дзялошинский, ЖЭТФ **46**, 1420 (1964). [I. Dzyaloshinskii, Sov. Phys. JETP **19**, 960 (1964)].
10. Л. Д. Ландау, Е. М. Лифшиц, Электродинамика сплошных сред, Наука, Москва (1982).
11. А. К. Звездин, А. П. Пятаков, УФН **179**, 897 (2009).
12. А. П. Пятаков, А. К. Звездин, УФН **182**, 593 (2012).
13. A. K. Zvezdin and A. P. Pyatakov, Europhys. Lett. **99**, 57003 (2012).
14. I. S. Lyubutin, P. G. Naumov, B. V. Mill, K. V. Frolov, and E. I. Demikhov, Phys. Rev. B **84**, 214425 (2011).
15. I. S. Lyubutin, P. G. Naumov, and B. V. Mill, Europhys. Lett. **90**, 67005 (2010).
16. S. A. Pikin and I. S. Lyubutin, Phys. Rev. B **86**, 064414 (2012).